

the bond breakage, and only four out of the forty-eight T-O bonds or four out of twenty-four T-O-T angles are broken. Each 5- or 7-membered ring has only one new T-O bond generated during the transformation.

Change of bond distances and angles

After the transformation, the density decreases from 2.395 to 2.365 g.cm⁻³. This is reflected in a general increase of the bond lengths in the keatite phase (Li & Peacor, 1968; Li, 1968). Also, after the transformation, both the (Si, Al)- and Li-tetrahedra become slightly more distorted, as is shown by a general increase in the range of angles in the keatite phase. During the transformation, the T-O-T angle changes from 151.6° to 143.6°, 150.7° and 154.0°. It was found by this study that the angles of 143.6° and 154.0° are the new T-O-T angles generated during the transformation. However, these two new angles not only show up at the new (Si, Al)-tetrahedra linkage but also appear with the left-over high-quartz linkage of the keatite phase. The remaining T-O-T angle of 150.7° which has the minimum deviation from the original high-quartz angle of 151.6° is the direct descendant from the high-quartz phase.

Reasons for transformation

Some possible reasons for the reconstructive transformation between the high-quartz and the keatite phases were reported (Li, 1970). They will not be repeated here.

The writer would like to express his gratitude to Professor D. R. Peacor and his colleagues, Drs M. A. Conrad, G. M. Muchow, and G. F. Neilson for review-

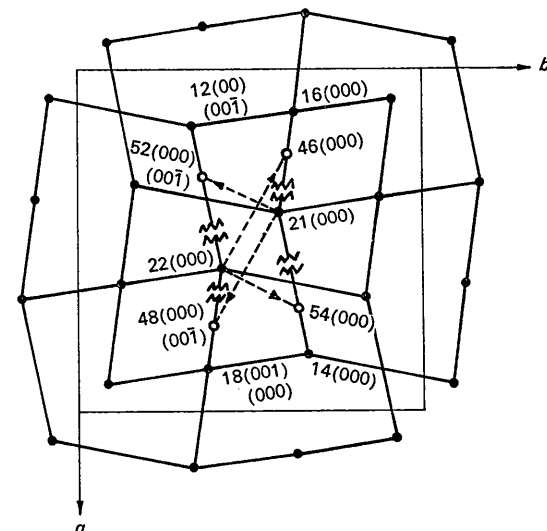


Fig. 7. Illustration of the change of bonding during transformation (open circles designate oxygen locations which are somewhat displaced in this high-quartz projection for sake of clarity).

ing the manuscript. Special thanks are given to Professor Werner Baur for his constructive suggestions in condensing the manuscript.

References

- EVANS, D. L. (1969). *Acta Cryst. A* **25**, S 234.
- LI, CHI-TANG (1968). *Z. Kristallogr.* **127**, 327.
- LI, CHI-TANG (1970). *Z. Kristallogr.* **132**, 118.
- LI, CHI-TANG & PEACOR, D. R. (1968). *Z. Kristallogr.* **126**, 46.

Acta Cryst. (1971). **B27**, 1140

Die Strukturen einiger *p*-Halogenphenyl-diphenyl-phosphinchalkogene. I. *p*-Bromphenyl-diphenyl-phosphinoxid

VON W. DREISSIG UND K. PLIETH

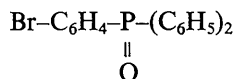
Institut für Kristallographie der Freien Universität, Berlin-Dahlem, Deutschland

(Eingegangen am 16. März 1970)

p-Bromophenyldiphenylphosphine oxide is monoclinic, space group $P2_1/n$, with lattice constants $a = 16.933$, $b = 14.912$, $c = 6.257 \text{ \AA}$, $\beta = 95.30^\circ$. Three-dimensional intensity data were collected with an automatic 4-circle diffractometer. The structure was determined by Patterson synthesis applying the heavy-atom method. By least-squares refinement, including the 14 H atoms, the R value decreased to 6.4%.

Experimente

p-Bromphenyl-diphenyl-phosphinoxid



bildet nach Goetz, Nerdel & Wiechtel (1963) farblose Kristalle mit linealiformigem Habitus, die stark zur Verzwilligung neigen. Aus einer 4:1-Lösung von Äthylalkohol und Petroläther konnten nach vielen Kristallisationsversuchen genügend grosse unverzwilligte Kristalle erhalten werden. Die Gitterkon-

Tabelle 1. *Atomparameter*

Die Zahlen in Klammern geben die Standardabweichungen an, bezogen auf die letzten Stellen des Parameterwertes.		
Br(1)	0,4327 (1)	0,6135 (1)
P(1)	0,2650 (1)	0,2938 (1)
O(1)	0,2747 (3)	0,2957 (4)
C(1)	0,3205 (4)	0,3790 (5)
C(2)	0,3320 (4)	0,4598 (5)
C(3)	0,3725 (5)	0,5299 (5)
C(4)	0,4009 (4)	0,5196 (5)
C(5)	0,3907 (5)	0,4398 (5)
C(6)	0,3504 (5)	0,3701 (5)
C(7)	0,1627 (4)	0,3087 (5)
C(8)	0,1056 (5)	0,2871 (6)
C(9)	0,0267 (5)	0,2948 (7)
C(10)	0,0023 (5)	0,3245 (7)
C(11)	0,0581 (5)	0,3469 (6)
C(12)	0,1376 (5)	0,3388 (6)
C(13)	0,2958 (4)	0,1834 (5)
C(14)	0,3452 (5)	0,1339 (6)
C(15)	0,3711 (5)	0,0513 (6)
C(16)	0,3474 (5)	0,0203 (6)
C(17)	0,2988 (5)	0,0715 (5)
C(18)	0,2727 (5)	0,1550 (5)
x		
H(2)	0,3225 (5)	0,478 (6)
H(3)	0,3835 (4)	0,575 (5)
H(5)	0,4116 (5)	0,436 (6)
H(6)	0,3333 (5)	0,316 (5)
H(8)	0,1225 (4)	0,282 (5)
H(9)	-0,0007 (5)	0,277 (6)
H(10)	-0,057 (5)	0,294 (6)
H(11)	0,049 (6)	0,348 (7)
H(12)	0,175 (5)	0,351 (6)
H(14)	0,3559 (4)	0,163 (5)
H(15)	0,395 (4)	0,007 (5)
H(16)	0,341 (6)	-0,044 (7)
H(17)	0,224 (5)	0,195 (6)
H(18)	0,295 (4)	0,053 (5)
y		
H(2)	0,166 (15)	0,166 (15)
H(3)	3,3 (1,1)	0,308 (12)
H(5)	4,0 (1,3)	0,870 (13)
H(6)	3,6 (1,2)	0,705 (12)
H(8)	2,7 (1,0)	0,054 (11)
H(9)	4,7 (1,5)	0,049 (14)
H(10)	4,3 (1,3)	0,388 (13)
H(11)	7,3 (2,3)	0,671 (16)
H(12)	4,3 (1,4)	0,603 (13)
H(14)	3,2 (1,1)	0,155 (12)
H(15)	2,4 (1,0)	0,252 (11)
H(16)	7,6 (2,5)	0,583 (17)
H(17)	5,5 (1,6)	0,627 (14)
H(18)	2,0 (0,9)	0,781 (11)
z		
<i>B</i>		

Tabelle 2. Beobachtete und berechnete Strukturfaktoren

Es ist jeweils H, $10 \times |F_0|$ und $10 \times F_e$ aufgeführt. Ein * kennzeichnet unbeobachtete Reflexe.

$\text{H} \cdot \text{O}$	$\text{H} \cdot \text{C}$	7 134 139	8 236 -244	-15 13 3	14 143 -152	-5 92 97	8 324 243	-11 235 -255	$\text{H} \cdot \text{O}_2$	-8 19 21
2 311 -213	3 311 318	8 132 129	9 98 -83	-13 45 -42	15 20 -12	-6 101 101	8 241 273	-15 167 -164	-17 13 -14	-6 152 -151
2 312 -214	3 312 319	9 139 6	10 388 -578	-12 365 367	14 54 -22	-7 15 14	10 115 114	-5 165 -121	-17 13 -14	-6 152 -151
2 313 -215	3 313 320	10 137 65	11 161 -101	-13 48 -49	17 23 -22	-8 101 101	11 115 114	-5 165 -121	-16 14 -15	-6 152 -151
2 314 -216	3 314 321	11 22 25	12 111 -118	-10 125 131	15 54 -22	-9 101 101	12 115 114	-5 165 -121	-16 14 -15	-6 152 -151
2 315 -217	3 315 322	12 39 97	13 163 158	-9 70 67	16 117 -124	-10 115 114	13 150 157	-4 111 116	-16 13 -14	-5 152 -151
2 316 -218	3 316 323	13 45 -111	14 163 -194	-8 472 466	17 115 114	14 107 -119	-5 151 142	-4 151 -142	-13 14 -15	-5 152 -151
2 317 -219	3 317 324	14 46 -111	15 163 -194	-7 472 466	18 115 114	15 107 -119	-5 151 142	-4 151 -142	-12 13 -14	-5 152 -151
2 318 -220	3 318 325	H:15,0	16 43 -62	-6 166 152	16 115 114	-5 151 142	16 99 98	-5 151 142	-12 13 -14	-5 152 -151
2 319 -221	3 319 326	17 43 -50	-6 166 151	-5 151 142	17 114 -121	-5 164 172	17 98 -97	-5 151 142	-12 13 -14	-5 152 -151
2 320 -222	3 320 327	18 31 -28	19 72 -61	-206 -179	19 84 -82	1 97 -80	19 97 -98	-5 151 142	-12 13 -14	-5 152 -151
2 321 -223	3 321 328	19 31 -28	20 72 -61	-206 -179	19 84 -82	1 97 -80	19 97 -98	-5 151 142	-12 13 -14	-5 152 -151
2 322 -224	3 322 329	20 31 -19	-2 547 -544	-12 119 -121	3 17 14	-5 164 172	4 101 101	-5 151 142	-12 13 -14	-5 152 -151
2 323 -225	3 323 330	4 117 114	-1 169 144	-11 42 -42	4 141 -143	-5 151 142	4 101 101	-5 151 142	-12 13 -14	-5 152 -151
2 324 -226	3 324 331	5 15 7	H:3,1	0 44 -38	10 108 -104	5 235 -230	5 151 142	5 151 142	-5 151 142	-5 151 142
2 325 -227	3 325 332	7 31 -26	-28 42 51	1 127 -192	8 124 -124	3 151 142	5 151 142	-5 151 142	-5 151 142	-5 151 142
2 326 -228	3 326 333	8 68 73	10 57 61	4 180 -180	-7 255 -256	8 57 57	-10 29 29	6 426 -422	-2 56 57	6 35 36
2 327 -229	3 327 334	11 76 -73	9 59 60	-10 104 -107	4 218 -192	5 104 -102	-17 69 64	7 322 -322	-1 265 -276	7 35 36
2 328 -230	3 328 335	12 76 -73	10 59 60	-10 104 -107	4 218 -192	5 104 -102	-17 69 64	7 322 -322	-1 265 -276	7 35 36
2 329 -231	3 329 336	13 77 23	14 59 64	-6 208 -181	11 117 114	-16 117 114	6 47 47	10 141 134	9 141 134	10 140 134
2 330 -232	3 330 337	14 77 23	15 59 64	-6 208 -181	11 117 114	-16 117 114	6 47 47	10 141 134	9 141 134	10 140 134
2 331 -233	3 331 338	15 77 23	16 59 64	-6 208 -181	11 117 114	-16 117 114	6 47 47	10 141 134	9 141 134	10 140 134
2 332 -234	3 332 339	16 77 23	17 59 64	-6 208 -181	11 117 114	-16 117 114	6 47 47	10 141 134	9 141 134	10 140 134
2 333 -235	3 333 340	17 77 23	18 59 64	-6 208 -181	11 117 114	-16 117 114	6 47 47	10 141 134	9 141 134	10 140 134
2 334 -236	3 334 341	18 77 23	19 59 64	-6 208 -181	11 117 114	-16 117 114	6 47 47	10 141 134	9 141 134	10 140 134
2 335 -237	3 335 342	19 77 23	20 59 64	-6 208 -181	11 117 114	-16 117 114	6 47 47	10 141 134	9 141 134	10 140 134
2 336 -238	3 336 343	20 77 23	21 59 64	-6 208 -181	11 117 114	-16 117 114	6 47 47	10 141 134	9 141 134	10 140 134
2 337 -239	3 337 344	21 77 23	22 59 64	-6 208 -181	11 117 114	-16 117 114	6 47 47	10 141 134	9 141 134	10 140 134
2 338 -240	3 338 345	22 77 23	23 59 64	-6 208 -181	11 117 114	-16 117 114	6 47 47	10 141 134	9 141 134	10 140 134
2 339 -241	3 339 346	23 77 23	24 59 64	-6 208 -181	11 117 114	-16 117 114	6 47 47	10 141 134	9 141 134	10 140 134
2 340 -242	3 340 347	24 77 23	25 59 64	-6 208 -181	11 117 114	-16 117 114	6 47 47	10 141 134	9 141 134	10 140 134
2 341 -243	3 341 348	25 77 23	26 59 64	-6 208 -181	11 117 114	-16 117 114	6 47 47	10 141 134	9 141 134	10 140 134
2 342 -244	3 342 349	26 77 23	27 59 64	-6 208 -181	11 117 114	-16 117 114	6 47 47	10 141 134	9 141 134	10 140 134
2 343 -245	3 343 350	27 77 23	28 59 64	-6 208 -181	11 117 114	-16 117 114	6 47 47	10 141 134	9 141 134	10 140 134
2 344 -246	3 344 351	28 77 23	29 59 64	-6 208 -181	11 117 114	-16 117 114	6 47 47	10 141 134	9 141 134	10 140 134
2 345 -247	3 345 352	29 77 23	30 59 64	-6 208 -181	11 117 114	-16 117 114	6 47 47	10 141 134	9 141 134	10 140 134
2 346 -248	3 346 353	30 77 23	31 59 64	-6 208 -181	11 117 114	-16 117 114	6 47 47	10 141 134	9 141 134	10 140 134
2 347 -249	3 347 354	31 77 23	32 59 64	-6 208 -181	11 117 114	-16 117 114	6 47 47	10 141 134	9 141 134	10 140 134
2 348 -250	3 348 355	32 77 23	33 59 64	-6 208 -181	11 117 114	-16 117 114	6 47 47	10 141 134	9 141 134	10 140 134
2 349 -251	3 349 356	33 77 23	34 59 64	-6 208 -181	11 117 114	-16 117 114	6 47 47	10 141 134	9 141 134	10 140 134
2 350 -252	3 350 357	34 77 23	35 59 64	-6 208 -181	11 117 114	-16 117 114	6 47 47	10 141 134	9 141 134	10 140 134
2 351 -253	3 351 358	35 77 23	36 59 64	-6 208 -181	11 117 114	-16 117 114	6 47 47	10 141 134	9 141 134	10 140 134
2 352 -254	3 352 359	36 77 23	37 59 64	-6 208 -181	11 117 114	-16 117 114	6 47 47	10 141 134	9 141 134	10 140 134
2 353 -255	3 353 360	37 77 23	38 59 64	-6 208 -181	11 117 114	-16 117 114	6 47 47	10 141 134	9 141 134	10 140 134
2 354 -256	3 354 361	38 77 23	39 59 64	-6 208 -181	11 117 114	-16 117 114	6 47 47	10 141 134	9 141 134	10 140 134
2 355 -257	3 355 362	39 77 23	40 59 64	-6 208 -181	11 117 114	-16 117 114	6 47 47	10 141 134	9 141 134	10 140 134
2 356 -258	3 356 363	40 77 23	41 59 64	-6 208 -181	11 117 114	-16 117 114	6 47 47	10 141 134	9 141 134	10 140 134
2 357 -259	3 357 364	41 77 23	42 59 64	-6 208 -181	11 117 114	-16 117 114	6 47 47	10 141 134	9 141 134	10 140 134
2 358 -260	3 358 365	42 77 23	43 59 64	-6 208 -181	11 117 114	-16 117 114	6 47 47	10 141 134	9 141 134	10 140 134
2 359 -261	3 359 366	43 77 23	44 59 64	-6 208 -181	11 117 114	-16 117 114	6 47 47	10 141 134	9 141 134	10 140 134
2 360 -262	3 360 367	44 77 23	45 59 64	-6 208 -181	11 117 114	-16 117 114	6 47 47	10 141 134	9 141 134	10 140 134
2 361 -263	3 361 368	45 77 23	46 59 64	-6 208 -181	11 117 114	-16 117 114	6 47 47	10 141 134	9 141 134	10 140 134
2 362 -264	3 362 369	46 77 23	47 59 64	-6 208 -181	11 117 114	-16 117 114	6 47 47	10 141 134	9 141 134	10 140 134
2 363 -265	3 363 370	47 77 23	48 59 64	-6 208 -181	11 117 114	-16 117 114	6 47 47	10 141 134	9 141 134	10 140 134
2 364 -266	3 364 371	48 77 23	49 59 64	-6 208 -181	11 117 114	-16 117 114	6 47 47	10 141 134	9 141 134	10 140 134
2 365 -267	3 365 372	49 77 23	50 59 64	-6 208 -181	11 117 114	-16 117 114	6 47 47	10 141 134	9 141 134	10 140 134
2 366 -268	3 366 373	50 77 23	51 59 64	-6 208 -181	11 117 114	-16 117 114	6 47 47	10 141 134	9 141 134	10 140 134
2 367 -269	3 367 374	51 77 23	52 59 64	-6 208 -181	11 117 114	-16 117 114	6 47 47	10 141 134	9 141 134	10 140 134
2 368 -270	3 368 375	52 77 23	53 59 64	-6 208 -181	11 117 114	-16 117 114	6 47 47	10 141 134	9 141 134	10 140 134
2 369 -271	3 369 376	53 77 23	54 59 64	-6 208 -181	11 117 114	-16 117 114	6 47 47	10 141 134	9 141 134	10 140 134
2 370 -272	3 370 377	54 77 23	55 59 64	-6 208 -181	11 117 114	-16 117 114	6 47 47	10 141 134	9 141 134	10 140 134
2 371 -273	3 371 378	55 77 23	56 59 64	-6 208 -181	11 117 114	-16 117 114	6 47 47	10 141 134	9 141 134	10 140 134
2 372 -274	3 372 379	56 77 23	57 59 64	-6 208 -181	11 117 114	-16 117 114	6 47 47	10 141 134	9 141 134	10 140 134
2 373 -275	3 373 380	57 77 23	58 59 64	-6 208 -181	11 117 114	-16 117 114	6 47 47	10 141 134	9 141 134	10 140 134
2 374 -276	3 374 381	58 77 23	59 59 64	-6 208 -181	11 117 114	-16 117 114	6 47 47	10 141 134	9 141 134	10 140 134
2 375 -277	3 375 382	59 77 23	60 59 64	-6 208 -181	11 117 114	-16 117 114	6 47 47	10 141 134	9 141 134	10 140 134
2 376 -278	3 376 383	60 77 23	61 59 64	-6 208 -181	11 117 114	-16 117 114	6 47 47	10 141 134	9 141 134	10 140 134
2 377 -279	3 377 384	61 77 23	62 59 64	-6 208 -181	11 117 114	-16 117 114	6 47 47	10 141 134	9 141 134	10 140 134
2 378 -280	3 378 385	62 77 23	63 59 64	-6 208 -181	11 117 114	-16 117 114	6 47 47	10 141 134	9 141 134	10 140 134
2 379 -281	3 379 386	63 77 23	64 59 64	-6 208 -181	11 117 114	-16 117 114	6 47 47	10 141 134	9 141 134	10 140 134
2 380 -282	3 380 387	64 77 23	65 59 64	-6 208 -181	11 117 114	-16 117 114	6 47 47	10 141 134	9 141 134	10 140 134
2 381 -283	3 381 388	65 77 23	66 5							

Tabelle 2 (*Fort.*)

Tabelle 2 (Fort.)

-9 122 -25	-16 54 -36	0 120 -11	-7 176 51	5 59 -17	-2 46 -11	10 57 -17	3 57 -70	-1 124 -15	-5 144 -15	11 57 -17
-9 122 -25	-16 54 -36	0 120 -11	-5 210 83	5 59 -17	-2 46 -11	10 57 -17	3 57 -70	-1 124 -15	-5 144 -15	11 57 -17
-9 122 -25	-16 54 -36	0 120 -11	-5 210 83	5 59 -17	-2 46 -11	10 57 -17	3 57 -70	-1 124 -15	-5 144 -15	11 57 -17
-9 122 -25	-16 54 -36	0 120 -11	-5 210 83	5 59 -17	-2 46 -11	10 57 -17	3 57 -70	-1 124 -15	-5 144 -15	11 57 -17
-9 122 -25	-16 54 -36	0 120 -11	-5 210 83	5 59 -17	-2 46 -11	10 57 -17	3 57 -70	-1 124 -15	-5 144 -15	11 57 -17

stanten der in der Raumgruppe $P2_1/n$ kristallisierenden Substanz wurden mit einem automatischen Einkristall-Diffraktometer der Firma Siemens bestimmt:

$$a = 16,933 \pm 0,008 \text{ \AA}$$

$$b = 14,912 \pm 0,008 \text{ \AA}$$

$$c = 6,257 \pm 0,003 \text{ \AA}$$

$$V = 1573,2 \text{ \AA}^3$$

$$Z = 4$$

Cu $K\alpha$ -Strahlung, Ni-Filter.

$$\alpha = 90^\circ$$

$$\beta = 95,30 \pm 0,06^\circ$$

$$\gamma = 90^\circ$$

$$D_{\text{exp}} = 1,50 \text{ g.cm}^{-3}$$

$$D_{\text{ro}} = 1,51 \text{ g.cm}^{-3}$$

In dem Bereich $5^\circ \leq \theta \leq 71^\circ$ konnten die Intensitäten von 3052 unabhängigen Reflexen gemessen werden. Von ihnen wiesen 225 eine Intensität auf, die kleiner als der statistische Fehler war. Sie wurden als unbeobachtet eingestuft. Wegen der sehr unterschiedlichen Absorptionsverhältnisse wurden die Reflexintensitäten mit einer für das Vierkreis-Diffraktometer modifizierten Form eines Programms von Burnham & Onken (1964) mit einer Absorptionskorrektur versehen. Die ermittelten Transmissionskoeffizienten lagen zwischen 0,15 und 0,58.

Strukturbestimmung

Mit den so korrigierten Daten wurde eine dreidimensionale Pattersonsynthese gerechnet. Aus den Harker-Schnitten konnten die intermolekularen Br-Br- und P-P-Vektoren entnommen werden. Aus der mit den verfeinerten Lagekoordinaten dieser Schweratome gerechneten Fouriersynthese konnten eindeutig die Lagen sämtlicher Kohlenstoffatome sowie des Sauerstoffatoms ermittelt werden. Der Zuverlässigkeitssindex betrug mit diesem Strukturvorschlag 33%. Isotrope und anisotrope least-squares-Verfeinerungen reduzierten ihn auf $R=8,2\%$. In der mit diesen Parametern berechneten Differenzsynthese konnten alle 14 Wasserstoffatome entdeckt werden. Abwechselnde Verfeinerungen der Wasserstoffe und der mittleren und schweren Atome verminderten den Zuverlässigkeitssindex schliesslich auf $R=6,4\%$. Die Rechnungen wurden mit eigenen Programmen zum grössten Teil aber mit dem Programmsystem X-ray 63 (Onken, 1965, X-ray 63-Handbuch) durchgeführt.

Ergebnisse

Die Atomkoordinaten und -temperaturfaktoren sind mit ihren Standardabweichungen in Tabelle 1 aufgeführt; die mit diesen Parametern berechneten Strukturamplituden sind den beobachteten in Tabelle 2 gegen-

übergestellt. Die Bindungslängen und -winkel mit ihren Fehlern sind in Tabelle 3 zusammengestellt; Tabelle 4 schliesslich zeigt sämtliche intermolekularen Abstände unter 3,3 Å. Fig. 1 ist ein Modell des Moleküls einschliesslich der Wasserstoffatome dargestellt.

Tabelle 3. Bindungslängen (Å) und Bindungswinkel (°)

Die Zahlen in Klammern geben die Standardabweichungen an, bezogen auf die letzten Stellen des Parameterwertes.

Br(1)—C(4)	1,891 (7) Å	C(2)—H(2)	0,94 (9) Å
P(1)—O(1)	1,497 (5)	C(3)—H(3)	0,99 (8)
P(1)—C(1)	1,798 (7)	C(5)—H(5)	0,89 (8)
P(1)—C(7)	1,806 (7)	C(6)—H(6)	0,98 (8)
P(1)—C(13)	1,821 (7)	C(8)—H(8)	0,72 (7)
C(1)—C(2)	1,403 (10)	C(9)—H(9)	0,98 (8)
C(2)—C(3)	1,389 (11)	C(10)—H(10)	1,13 (8)
C(3)—C(4)	1,377 (11)	C(11)—H(11)	0,87 (10)
C(4)—C(5)	1,391 (11)	C(12)—H(12)	0,84 (8)
C(5)—C(6)	1,379 (11)	C(14)—H(14)	0,91 (8)
C(6)—C(1)	1,400 (10)	C(15)—H(15)	1,00 (7)
C(7)—C(8)	1,405 (10)	C(16)—H(16)	1,00 (11)
C(8)—C(9)	1,369 (12)	C(17)—H(17)	0,81 (7)
C(9)—C(10)	1,351 (14)	C(18)—H(18)	1,07 (9)
C(10)—C(11)	1,400 (12)		
C(11)—C(12)	1,374 (12)		
C(12)—C(7)	1,382 (10)		
C(13)—C(14)	1,384 (11)		
C(14)—C(15)	1,372 (12)		
C(15)—C(16)	1,391 (14)		
C(16)—C(17)	1,394 (13)		
C(17)—C(18)	1,393 (11)		
C(18)—C(13)	1,396 (11)		
Br(1)—C(4)—C(3)	120,5 (6)°		
Br(1)—C(4)—C(5)	118,1 (5)		
O(1)—P(1)—C(1)	112,7 (3)		
O(1)—P(1)—C(7)	111,3 (3)		
O(1)—P(1)—C(13)	111,9 (3)		
C(1)—P(1)—C(7)	106,3 (3)		
C(1)—P(1)—C(13)	107,6 (3)		
C(7)—P(1)—C(13)	106,7 (3)		
C(6)—C(1)—C(2)	119,4 (6)		
C(1)—C(2)—C(3)	119,9 (7)		
C(2)—C(3)—C(4)	119,7 (7)		
C(3)—C(4)—C(5)	121,4 (7)		
C(4)—C(5)—C(6)	119,2 (7)		
C(5)—C(6)—C(1)	120,5 (7)		
C(12)—C(7)—C(8)	119,0 (7)		
C(7)—C(8)—C(9)	119,7 (7)		
C(8)—C(9)—C(10)	121,2 (8)		
C(9)—C(10)—C(11)	120,1 (8)		
C(10)—C(11)—C(12)	119,5 (8)		
C(11)—C(12)—C(7)	120,6 (7)		
C(18)—C(13)—C(14)	120,4 (7)		
C(13)—C(14)—C(15)	121,0 (8)		
C(14)—C(15)—C(16)	118,7 (8)		
C(15)—C(16)—C(17)	121,6 (8)		
C(16)—C(17)—C(18)	119,0 (8)		
C(17)—C(18)—C(13)	119,4 (7)		

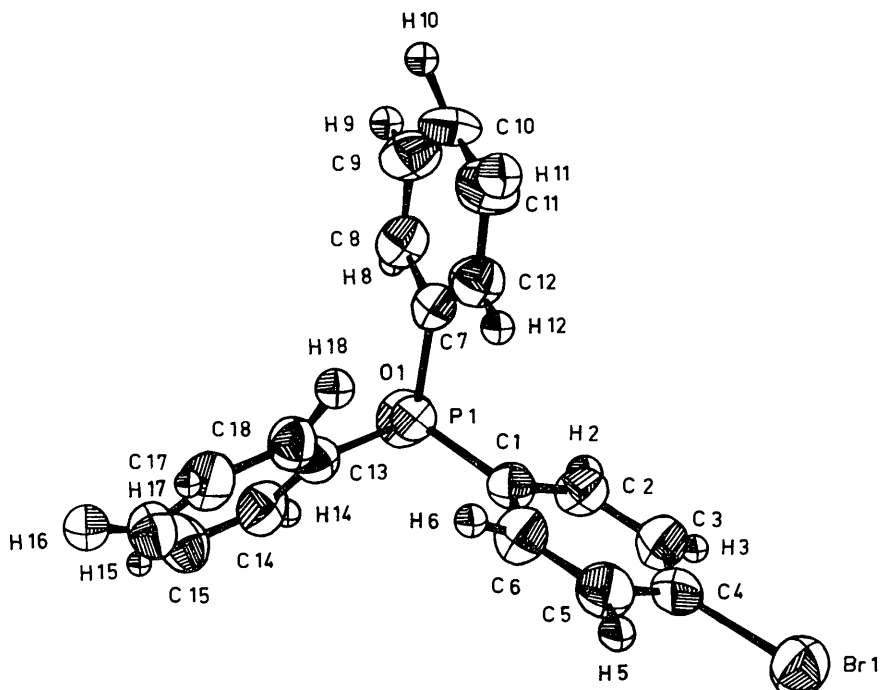
Fig. 1. Molekülgestalt des *p*-Bromphenyl-diphenyl-phosphinoxids

Tabelle 4. Intermolekulare Abstände

Es sind alle intermolekularen Abstände aufgeführt, die kleiner als 3,3 Å sind.

Br(1)-H(5)	3,07 Å	H(2)-H(5)	2,59 Å
O(1)-C(6)	3,13	H(2)-H(16)	3,09
O(1)-H(6)	2,39	H(3)-H(8)	3,22
O(1)-H(12)	3,15	H(6)-H(9)	3,28
O(1)-H(16)	3,13	H(6)-H(10)	2,66
O(1)-H(18)	3,01	H(8)-H(11)	2,80
C(2)-H(5)	3,22	H(8)-H(12)	3,19
C(5)-H(2)	3,05	H(8)-H(16)	2,80
C(6)-H(10)	3,25	H(9)-H(11)	2,83
C(7)-H(15)	3,14	H(10)-H(14)	2,38
C(8)-H(3)	3,17	H(11)-H(14)	3,21
C(8)-H(11)	3,20	H(11)-H(16)	2,82
C(8)-H(16)	3,09	H(12)-H(16)	2,55
C(9)-H(11)	3,20	H(12)-H(17)	3,13
C(10)-H(14)	3,17	H(14)-H(17)	2,98
C(11)-H(15)	3,14		
C(11)-H(16)	3,24		
C(12)-H(8)	3,29		
C(12)-H(15)	3,03		
C(12)-H(16)	3,08		
C(14)-H(9)	3,20		
C(14)-H(10)	3,23		
C(16)-H(2)	3,14		
C(17)-H(2)	3,12		

Der Mittelwert der C-C-Bindungslängen in den Phenylringen beträgt 1,397 Å in Übereinstimmung mit den Literaturwerten von Sutton (1968), ebenso steht der Mittelwert der C-H-Bindungen (1,04 Å) etwa in Übereinstimmung mit diesen Literaturangaben.

Die Kohlenstoffatome der Phenylringe sind im Mittel 0,01 Å aus den durch sie gebildeten Phenylringen herausgerückt, während die Wasserstoffatome wegen der ungenauerer Lagebestimmung einen mittleren Abstand von 0,08 Å zu den Ebenen besitzen. Die Struktur wird gemeinsam mit der folgenden in Teil II diskutiert.

Herrn Prof. Goetz, TU Berlin, danken wir für die Überlassung der Substanz. Ferner gilt unser Dank der Deutschen Forschungsgemeinschaft für die Bereitstellung des Automatischen Einkristall-Diffraktometers, dem Senator für Wirtschaft und Kredit, Berlin, für die zur Verfügung gestellten Personalmittel, dem Fond der Chemie für die Forschungsmittel und dem Deutschen Rechenzentrum, Darmstadt, für die Durchführung der umfangreichen Rechnungen.

Literatur

- BURNHAM, C. W. & ONKEN, H. H. (1964). *Manual for some Computer Programs for X-ray Analysis*. Cambridge, Mass.
 GOETZ, H., NERDEL, F. & WIECHEL, K.-H. (1963). *Liebigs Ann.* **665**, 1.
 SUTTON, L. E. (1968). *Tables of Interatomic Distances*. London: The Chemical Society.
 X-ray 63-Handbuch (1965). Departments of Chemistry at the Univ. of Washington and Univ. of Maryland.